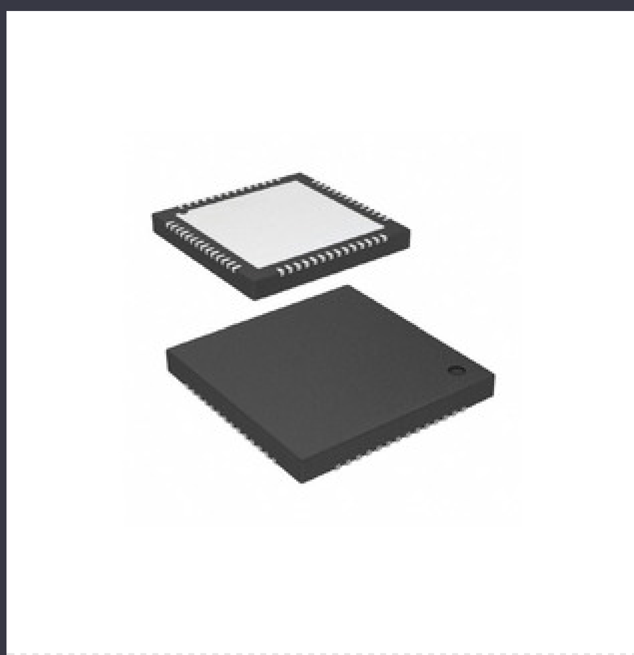

□□□ □□□□ □□□□ □□□□. □□□□ □□□□□ □□□□□ □□□□□.

CY8C4248LQQ-BL583T

□□□□ □□□	CY8C4248LQQ-BL583T	□ **RoHs** □□□	
□□□□ / □□□	Cypress Semiconductor (Infineon Technologies)	□□□□□□ □□□	13990 pcs stock
□□□□ □□□□□	IC MCU 32BIT 256KB FLASH 56QFN	□	Hong Kong
□□□□ □□□	PSoC® 4: PSoC 4100 BLE.pdf	□□□□□ □□□□	DHL/Fedex/TNT/UPS/EMS

13990 pcs stock
□□□□ □□ (□□□□□ □□□)

2000 pcs
$2.975

□□□ □□□ □□□

□□□□ "□□□ □□□" □□ □□□□ □□□□□ □□□□□ □□□.□□□□□□ □□□ □□□□□ □□□ □ 24 □□□□ □□□ □□□□□□□□.
□□□□□□ □□□□ □□□□□□ □□□□□ □□□□□ □□□ □□□ □□□□□ □□□ info@global-ic.hk□□□ □□□□ □□□□ □□ □□□□ □□□□□□□.

□□□ □□□ □□□

□□□□□□ □ CY8C4248LQQ-BL583T

□□□□-□□□□□ (Vcc / Vdd)	1.71V ~ 5.5V	□□□□□ □□□□□ □□□	56-QFN (7x7)
□□□□	48MHz	□□□□□	PSOC® 4 CY8C4xx8 BLE
RAM □□□	32K x 8	□□□□□□ □□□□ □□□□	FLASH
□□□□□□ □□□□□□ □□□	256KB (256K x 8)	□□□□□□	Bluetooth, Brown-out Detect/Reset, Cap Sense, DMA LCD, LVD, POR, PWM, SmartCard, SmartSense, WDT
□□□ / □□□	56-UFQFN Exposed Pad	□□□	Tape & Reel (TR)
□□□□□ □□□□	Internal	□□□□ □□□ □□□	-40°C ~ 105°C (TA)
□ I / O □□□	36	□□□□□ □□□□	Surface Mount
□ EEPROM □□□	-	□□□□ □□□□□	A/D 16x12b SAR; D/A 2xIDAC
□□□-□□□	32-Bit Single-Core	□□ □□□□□	ARM® Cortex®-M0
□□□□□	I²C, IrDA, LINbus, Microwire, SmartCard, SPI, SSP, UART/USART	□□□□□ □□□ □□□	CY8C4248

□□□□ □□□□

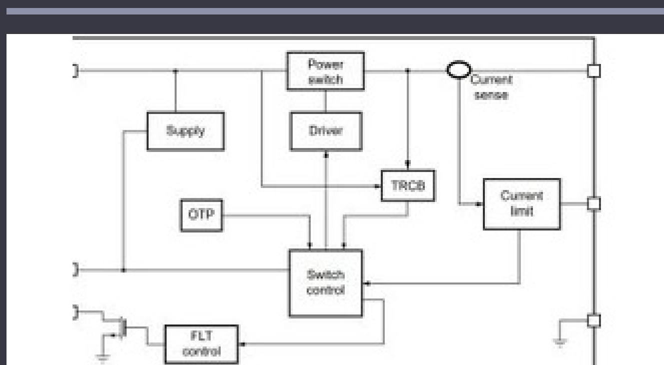

5v □□□□ □□□□ □□□□ □□ □□□□□ □□□ □□□□□

2023/08/17

□□□□□ □□□□□ □□□: □□ □□□ □□□: - □.

2023/09/18

□ Super □□□□□ □□□□ □□□□ □□□□

2023/08/16

□□□□ □□□□□-□□ 4 □.□ □□□□□□□ □□□□□ □□ - □□□□□ □□□□ □□□ □□□□□

2023/09/7

□□□□□□ □□ □ □□□□ □□□ □□□□□□□□ □□ □□□

2023/09/13

□□□□□-□□□ □□□□ □□□□□ □□□□ □□□ □□□ □□□□ □□□□□□

2023/07/21

□□□□□ □□□ □□□□□ □□□□□ IC □□□□□ □□□□□ □□□

2023/07/11

□□□□ □□□□ □□ □□□□□ □□□□□ □□□□□ □□□ □□ □□□□ □□□□□ □□□□□ □□□ □□ □□□

2023/07/28

12. □□□ 48 □□□ □□□□ □□□□□□ □ 800 □□ □□□ □□□□□

2023/09/13

□□□□□□ □□□□□□ □□□□□ □□□ 38v □□□□

2023/08/23

□□□□□ □□□□ □□□ □□ □□□ □□ □□□□□ □□□□□ □□□□

2023/08/22

Terran □□□□ □□□ □□□□□□ □□□□□□□ □□□□□ □□□ □□□□□□

2023/09/13

Global-ic

□□□ □□□ © 2023 □□□□□□□□ □□□□ □□□□□□□ - Global-IC

□-□□: info@global-ic.hk

□□□□: 19f Lockhart □□□□, □□□□□ □□□□, WAN CHAI, □□□ □□□